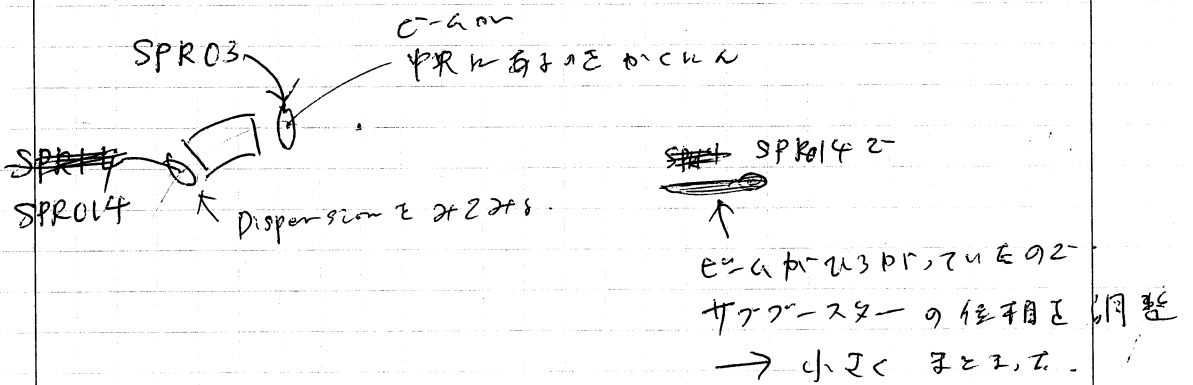


2012/11/14

Q310 は ~~SPR03~~ 配置してあるPR. 電源がつかない
今日120.

Q (asset) Q174C5 は ~~SPR03~~
Q2343 も ~~SPR03~~

紙合片 調整のノットは. Steadyノットは ~~SPR03~~ 参照.



2012/11/14 -

21=00=3.

J-Arc Dispersion 2495

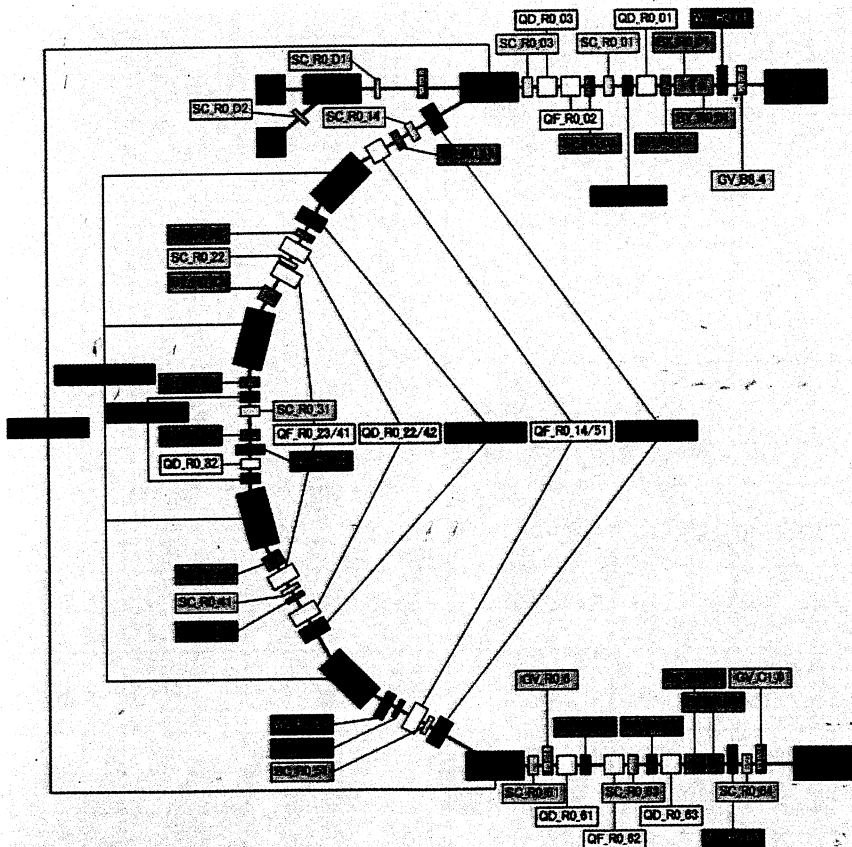
17° 1/10 (子 27 1/10)

1.6744 GeV ←

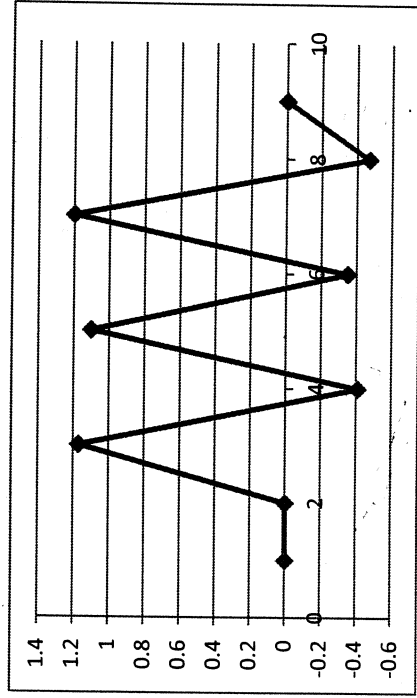
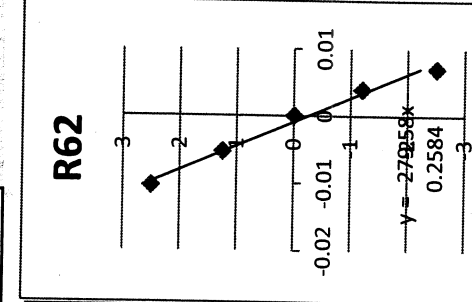
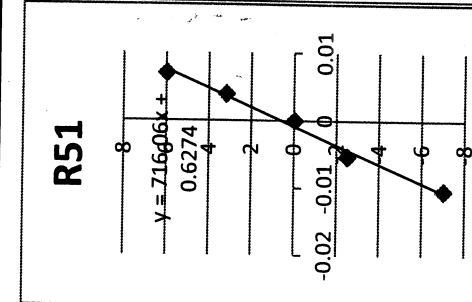
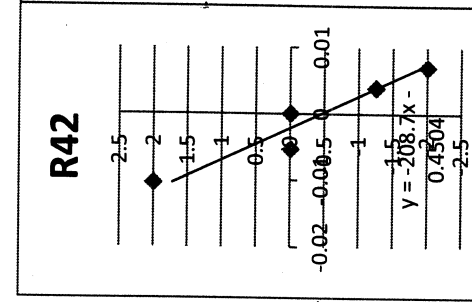
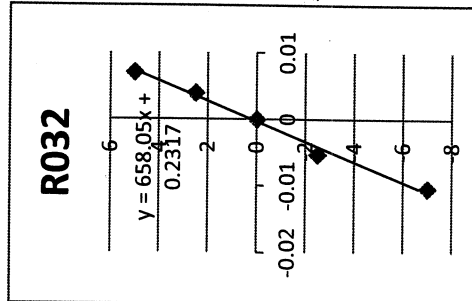
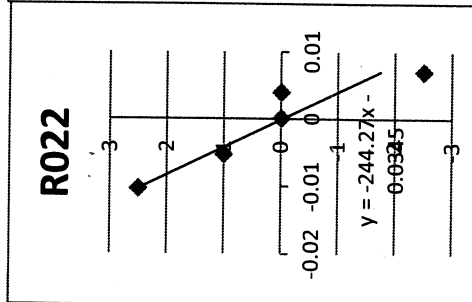
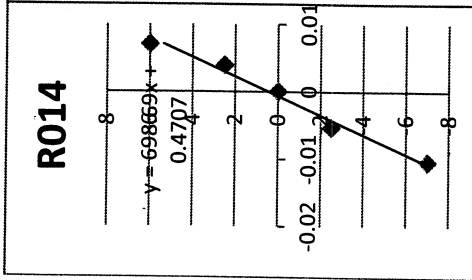
1.6783 GeV

$\Delta X =$

R01	R02	SPR014	R022	R032	R42	R51	R62	R63
0	0	+2.5mm	0	+2.5mm	-1.25mm	3.2mm	-1.2mm	0
0	0	6mm	-2.5mm	5mm	-2mm	6mm	-2.5mm	-1
0	0	-2.5mm	1mm	-2.5mm	0mm	-2.5mm	1.25mm	+1mm
0	0	-7mm	2.5mm	-7mm	2mm	-7mm	2.5mm	1mm



Energy	dE	R01	R02	R014	R022	R032	R42	R51	R62	R63
1.6744	0	0	0	0	0	0	0	0	0	0
1.6783	0.0039	0	0	2.5	0	2.5	-1.25	3.2	-1.2	0
1.6814	0.007	0	0	6	-2.5	5	-2	6	-2.5	-1
1.6691	-0.0053	0	0	-2.5	1	-2.5	0	-2.5	1.25	1
1.664	-0.0104	0	0	-7	2.5	-7	2	-7	2.5	1
Dispersion		0	0	1.1704056	-0.40901	1.101755	-0.34995	1.19887	-0.46883	0



2012.11.24

Ballistic Orbit法による RO_01部 23インチ異常の確認測定(紙巻)

SP
B64

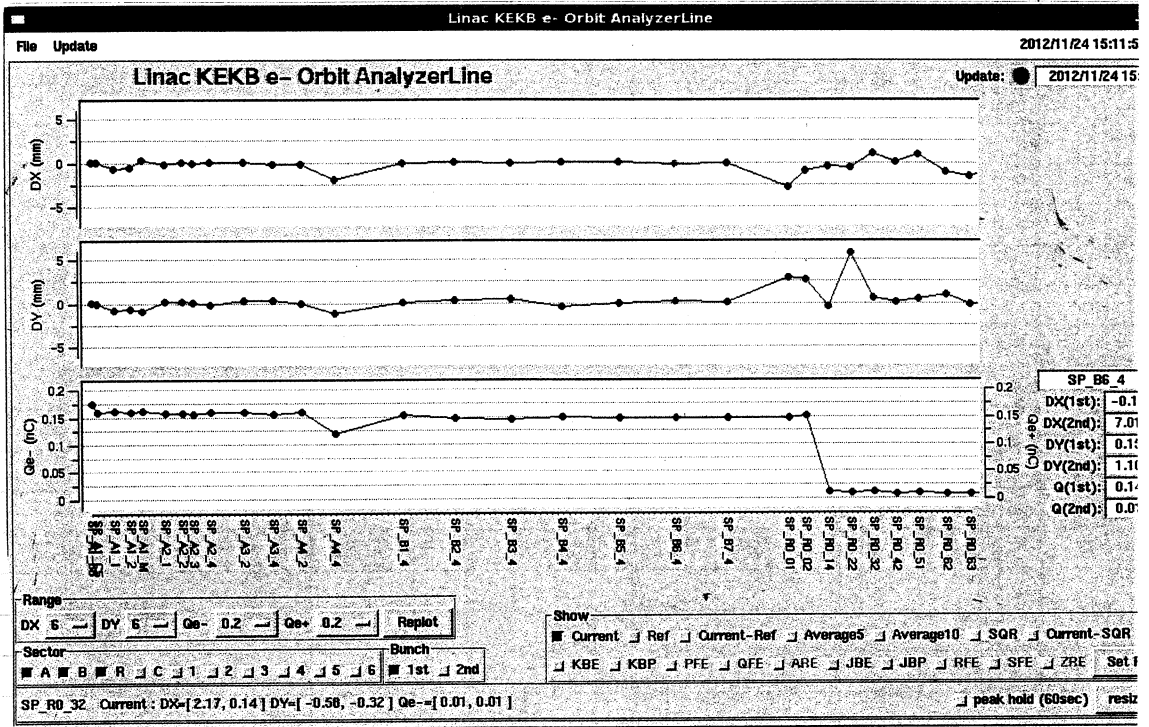
SP
B54

SP
RO_01



KLF-~~B7~~ B7, B8 → STD-BY
 QD/FI-B6-4, B7-4, RO_01, 02, 03 → zero.
 SX/Y-B7-1, 3, B8 1, 3, RO_01 → zero

SX/Y-B6-1.3 + B5-1.3 之 B64, B54 之 軌道 を 修正 する



結論

RO_01点では $\Delta x = -2.5 \text{ mm}$
 BPM現像値が $\Delta y = +2.5 \text{ mm}$

上流が歪む
 " 上

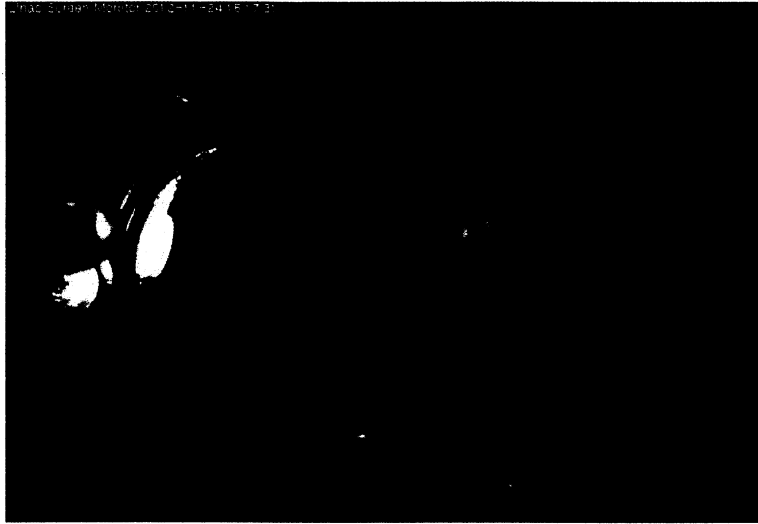
12a' 11aeM-~M-~H24aeM-~W# 15:10		a.txt		2/2 aeM-~CM-~ZaM-~C%aeM-~B,			
S/N	MAGNET_NAME	CONTR:ADR	CH	DAC (HEX)	ADC (HEX)	MAX(A)	STATUS
59	SX_B4_1	magplcB-A2	13	-3.860(01D3)	-3.850(01D7)	5	00E1
60	SY_B4_1	magplcB-A2	14	-0.387(0761)	-0.383(0763)	5	00E1
61	SX_B4_3	magplcB-A2	15	0.001(0800)	0.005(0802)	5	00E1
62	SY_B4_3	magplcB-A2	16	0.001(0800)	0.000(0800)	5	00E1
63	SX_B5_1	magplcB-B2	1	-0.348(0771)	-0.349(0771)	5	00E1
64	SY_B5_1	magplcB-B2	2	0.099(07D7)	0.093(07DA)	5	00E1
65	SX_B5_3	magplcB-B2	3	0.001(0800)	0.005(0802)	5	00E1
66	SY_B5_3	magplcB-B2	4	0.001(0800)	0.005(0802)	5	00E1
67	SX_B6_1	magplcB-B2	5	-3.181(02E9)	-3.174(02EC)	5	00E1
68	SY_B6_1	magplcB-B2	6	-2.451(0414)	-2.446(0416)	5	00E1
69	SX_B6_3	magplcB-B2	7	0.600(070A)	0.593(070D)	5	00E1
70	SY_B6_3	magplcB-B2	8	2.302(0BAE)	2.310(0BB2)	5	00E1
71	SX_B7_1	magplcB-B2	9	0.001(0800)	0.002(0801)	5	00E1
72	SY_B7_1	magplcB-B2	10	0.001(0800)	0.005(0802)	5	00E1
73	SX_B7_3	magplcB-B2	11	0.001(0800)	0.000(0800)	5	00E1
74	SY_B7_3	magplcB-B2	12	0.001(0800)	0.002(0801)	5	00E1
75	SX_B8_1	magplcB-B2	13	0.001(0800)	0.000(0800)	5	00E1
76	SY_B8_1	magplcB-B2	14	0.001(0800)	0.002(0801)	5	00E1
77	SX_B8_3	magplcB-B2	15	0.001(0800)	0.005(0802)	5	00E1
78	SY_B8_3	magplcB-B2	16	0.001(0800)	0.000(0800)	5	00E1
79	BY_R0_01	magplcR-B	5	0.001(0800)	0.002(0801)	5	00E1
80	BX_R0_01	magplcR-B	6	0.001(0800)	0.002(0801)	5	00E1
81	BY_R0_23	magplcR-B	7	-0.846(06A5)	-0.842(06A7)	5	00E1
82	BY_R0_41	magplcR-B	8	0.402(08A4)	0.400(08A4)	5	00E1
83	BX_R0_63	magplcR-B	9	-0.319(077D)	-0.320(077D)	5	00E1
84	BY_R0_63	magplcR-B	10	-0.282(078C)	-0.281(078D)	5	00E1

12a' 11aeM-~M-~H24aeM-~W# 15:10		a.txt		1/2 aeM-~CM-~ZaM-~C%aeM-~B,			
S/N	MAGNET_NAME	CONTR:ADR	CH	DAC (HEX)	ADC (HEX)	MAX(A)	STATUS
1	SX_A1_G0	magplcA-A2	1	0.001(0800)	0.000(0800)	5	00F1
2	SY_A1_G0	magplcA-A2	2	0.001(0800)	0.000(0800)	5	00F1
3	SX_A1_G4	magplcA-A2	3	0.001(0800)	0.002(0801)	5	00F1
4	SY_A1_G4	magplcA-A2	4	0.001(0800)	0.000(0800)	5	00F1
5	SX_A1_S6	magplcA-A2	5	0.001(0800)	0.000(0800)	5	00F1
6	SY_A1_S6	magplcA-A2	6	0.001(0800)	0.000(0800)	5	00F1
7	BX_A1_B8	magplcA-A2	7	0.099(0828)	0.100(0829)	5	00F1
8	BY_A1_B8	magplcA-A2	8	-0.548(071F)	-0.549(071F)	5	00F1
9	BX_A1_C5	magplcA-A2	9	1.000(099A)	1.000(099A)	5	00F1
10	BY_A1_C5	magplcA-A2	10	0.001(0800)	0.000(0800)	5	00F1
11	SX_A1_21	magplcA-A2	11	0.280(0872)	0.278(0872)	5	00F1
12	SY_A1_21	magplcA-A2	12	0.050(07EB)	-0.046(07ED)	5	00F1
13	BX_A1_22	magplcA-A2	13	-0.365(076A)	-0.364(076B)	5	00F1
14	BY_A1_22	magplcA-A2	14	0.192(084E)	0.193(084F)	5	00F1
15	BX_A1_M	magplcA-A2	15	0.001(0800)	0.007(0803)	5	00F1
16	BY_A1_M	magplcA-A2	16	0.001(0800)	0.000(0800)	5	00F1
17	SX_A1_B4	magplcA-A3	1	0.314(0880)	0.315(0881)	5	00F1
18	SY_A1_B4	magplcA-A3	2	-0.236(079F)	-0.237(079F)	5	00F1
19	SX_A1_1	magplcA-A3	3	-0.509(072F)	-0.510(072F)	5	00F1
20	SY_A1_1	magplcA-A3	4	0.006(0802)	0.005(0802)	5	00F1
21	SX_A1_G1	magplcA-A3	5	0.001(0800)	0.000(0800)	5	00F1
22	SY_A1_G1	magplcA-A3	6	0.001(0800)	0.000(0800)	5	00F1
23	SX_A2_1	magplcA-B2	1	-0.055(07E9)	-0.051(07EB)	5	00E1
24	SY_A2_1	magplcA-B2	2	-0.158(07BF)	-0.154(07C1)	5	00E1
25	SX_A2_2	magplcA-B2	3	-0.722(06D8)	-0.728(06D6)	5	00E1
26	SY_A2_2	magplcA-B2	4	0.131(0835)	0.132(0836)	5	00E1
27	SX_A2_3	magplcA-B2	5	-0.006(07FD)	0.000(0800)	5	00E1
28	SY_A2_3	magplcA-B2	6	-0.670(06ED)	-0.669(06EE)	5	00E1
29	SX_A2_4	magplcA-B2	7	-0.214(07A8)	-0.212(07A9)	5	00E1
30	SY_A2_4	magplcA-B2	8	0.060(07E7)	0.056(07E9)	5	00E1
31	SX_A3_1	magplcA-B2	9	-0.702(06E0)	-0.708(06DE)	5	00E1
32	SY_A3_1	magplcA-B2	10	0.155(083F)	0.156(0840)	5	00E1
33	SX_A3_2	magplcA-B2	11	0.001(0800)	0.000(0800)	5	00E1
34	SY_A3_2	magplcA-B2	12	0.001(0800)	0.002(0801)	5	00E1
35	SX_A3_3	magplcA-B2	13	0.079(0820)	0.078(0820)	5	00E1
36	SY_A3_3	magplcA-B2	14	-0.177(07E7)	-0.176(07E8)	5	00E1
37	SX_A3_4	magplcA-B2	15	0.001(0800)	-0.002(07FF)	5	00E1
38	SY_A3_4	magplcA-B2	16	0.001(0800)	0.000(0800)	5	00E1
39	SX_A4_1	magplcA-C2	1	0.001(0800)	-0.005(07FE)	5	00E1
40	SY_A4_1	magplcA-C2	2	0.832(0954)	0.833(0955)	5	00E1
41	SX_A4_2	magplcA-C2	3	0.001(0800)	-0.005(07FE)	5	00E1
42	SY_A4_2	magplcA-C2	4	0.001(0800)	-0.005(07FE)	5	00E1
43	SX_A4_3	magplcA-C2	5	0.302(087B)	0.305(087D)	5	00E1
44	SY_A4_3	magplcA-C2	6	0.001(0800)	0.000(0800)	5	00E1
45	SX_A4_4	magplcA-C2	7	0.800(0947)	0.803(0949)	5	00E1
46	SY_A4_4	magplcA-C2	8	0.001(0800)	0.000(0800)	5	00E1
47	SX_B1_1	magplcB-A2	1	-0.179(07B6)	-0.173(07B9)	5	00E1
48	SY_B1_1	magplcB-A2	2	0.292(0877)	0.295(0879)	5	00E1
49	SX_B1_3	magplcB-A2	3	0.001(0800)	0.005(0802)	5	00E1
50	SY_B1_3	magplcB-A2	4	0.001(0800)	0.005(0802)	5	00E1
51	SX_B2_1	magplcB-A2	5	-2.001(04CC)	-2.007(04CA)	5	00E1
52	SY_B2_1	magplcB-A2	6	-0.490(0737)	-0.496(0735)	5	00E1
53	SX_B2_3	magplcB-A2	7	0.001(0800)	0.007(0803)	5	00E1
54	SY_B2_3	magplcB-A2	8	0.001(0800)	0.005(0802)	5	00E1
55	SX_B3_1	magplcB-A2	9	0.199(0851)	0.200(0852)	5	00E1
56	SY_B3_1	magplcB-A2	10	0.001(0800)	0.000(0800)	5	00E1
57	SX_B3_3	magplcB-A2	11	0.001(0800)	0.000(0800)	5	00E1
58	SY_B3_3	magplcB-A2	12	0.001(0800)	0.010(0804)	5	00E1

12a' 11BM-VM-VH24BM-VW# 15:12		a.txt		1/2 BM-VCM-VZM-VCM-VB			
S/N	MAGNET_NAME	CONTR:ADR	CH	DAC (HEX)	ADC (HEX)	MAX(A)	STATUS
1	ML_A1_G0	magp1CA-A1	1	1.305 (06F5)	1.306 (06F7)	3	00FF
2	ML_A1_G1	magp1CA-A1	2	1.305 (06F5)	1.303 (06F3)	3	00FF
3	OD/D_A1_1	magp1CA-A1	3	1.725 (0585)	1.730 (058F)	5	00FF
4	OF_A1_1	magp1CA-A1	4	2.071 (06A0)	2.075 (06A4)	5	00FF
5	OD/D_A1_M	magp1CA-A1	5	2.630 (0435)	2.634 (0437)	10	00FF
6	OF_A1_M	magp1CA-A1	6	3.060 (04E5)	3.064 (04E7)	10	00FF
7	FC_A1_G1	magp1CA-A4	7	14.000 (0666)	13.962 (0662)	35	00FF
8	FC_A1_G2	magp1CA-A4	2	14.000 (0666)	14.031 (066A)	35	00FF
9	FC_A1_G3/4	magp1CA-A4	2	14.000 (0666)	14.005 (0667)	35	00FF
10	FC_A1_G5/6	magp1CA-A4	4	14.000 (0666)	13.928 (065E)	35	00FF
11	FC_A1_S1/2	magp1CA-A4	5	14.000 (0666)	14.022 (0669)	35	00FF
12	FC_A1_S3/4	magp1CA-A4	6	14.000 (0666)	14.039 (0672)	35	00FF
13	FC_A1_S5/6	magp1CA-A4	7	14.000 (0666)	13.988 (0665)	35	00FF
14	FC_A1_S7/8	magp1CA-A4	8	20.000 (0924)	20.012 (0926)	35	00FF
15	FC_A1_S9	magp1CA-A4	9	18.650 (0886)	18.611 (0882)	35	00FF
16	FC_A1_SA	magp1CA-A4	10	18.598 (0880)	18.551 (087B)	35	00FF
17	FC_A1_P	magp1CA-A4	11	18.650 (0886)	18.730 (0890)	35	00FF
18	FC_A1_B1	magp1CA-A4	12	20.009 (0925)	20.106 (0931)	35	00FF
19	FC_A1_B2/3	magp1CA-A4	13	20.000 (0924)	19.978 (0922)	35	00FF
20	FC_A1_B4/5	magp1CA-A4	14	20.000 (0924)	19.961 (0920)	35	00FF
21	FC_A1_B6/7	magp1CA-A4	15	14.000 (0666)	14.022 (0669)	35	00FF
22	FC_A1_B8	magp1CA-A4	16	14.000 (0666)	14.005 (0667)	35	00FF
23	OD/D_A1_2	magp1CA-A3	7	0.295 (083C)	0.293 (083C)	10	00E1
24	OF_A1_C5	magp1CA-A3	11	0.515 (0869)	0.503 (0867)	10	00E1
25	OF_A1_2	magp1CA-A3	8	0.789 (08A1)	0.786 (08A1)	10	00E1
26	OD/D_A1_B8	magp1CA-A3	9	2.772 (0A37)	2.793 (0A3C)	10	00E1
27	OF_A1_B8	magp1CA-A3	10	3.001 (0A66)	3.008 (0A68)	10	00E1
28	OD_A1_C5	magp1CA-A3	12	0.862 (08B0)	0.874 (08B3)	10	00E1
29	OD/D_A2_1	magp1CA-B1	1	9.941 (054D)	9.939 (054D)	30	0077
30	OF_A2_1	magp1CA-B1	2	11.634 (0634)	11.638 (0635)	30	0077
31	OD/D_A2_2	magp1CA-B1	3	15.077 (080A)	15.081 (080B)	30	0077
32	OF_A2_2	magp1CA-B1	4	16.835 (08FA)	16.838 (08FB)	30	0077
33	OD/D_A2_3	magp1CA-B1	5	21.963 (0BB6)	22.002 (0BBC)	30	0077
34	OF_A2_3	magp1CA-B1	6	21.172 (0B4A)	21.182 (0B4C)	30	0077
35	OD/D_A2_4	magp1CA-B1	7	13.993 (0776)	14.004 (0778)	30	0077
36	OF_A2_4	magp1CA-B1	8	13.619 (0743)	13.645 (0747)	30	0077
37	OD/D_A3_2	magp1CA-B1	9	14.608 (07CA)	14.619 (07CC)	30	0077
38	OF_A3_2	magp1CA-B1	10	15.245 (0821)	15.256 (0823)	30	0077
39	OD/D_A3_4	magp1CA-B1	11	18.960 (0A1C)	18.977 (0A1F)	30	0077
40	OF_A3_4	magp1CA-B1	12	19.941 (0A22)	19.944 (0A23)	30	0077
41	OD/D_A4_2	magp1CA-C1	1	11.355 (060E)	11.360 (060F)	30	0077
42	OF_A4_2	magp1CA-C1	2	12.359 (0697)	12.371 (0699)	30	0077
43	OD/D_A4_4	magp1CA-C1	3	17.722 (0973)	17.769 (097A)	30	0077
44	OF_A4_4	magp1CA-C1	4	19.201 (0A3D)	19.219 (0A40)	30	0077
45	OD/D_B1_4	magp1CB-A1	1	4.103 (0348)	4.126 (034D)	20	0077
46	OF_B1_4	magp1CB-A1	2	4.249 (0366)	4.243 (0365)	20	0077
47	OD/D_B2_4	magp1CB-A1	3	4.591 (03AC)	4.614 (03B1)	20	0077
48	OF_B2_4	magp1CB-A1	4	4.967 (03F9)	4.956 (03F7)	20	0077
49	OD/D_B3_4	magp1CB-A1	5	6.457 (052A)	6.475 (052E)	20	0077
50	OF_B3_4	magp1CB-A1	6	6.799 (0570)	6.802 (0571)	20	0077
51	OD/D_B4_4	magp1CB-A1	7	7.394 (05EA)	7.397 (05EB)	20	0077
52	OF_B4_4	magp1CB-A1	8	7.751 (0633)	7.728 (0639)	20	0077
53	OD/D_B5_4	magp1CB-B1	1	7.121 (05B2)	7.139 (05B6)	20	0077
54	OF_B5_4	magp1CB-B1	2	7.795 (063C)	7.822 (0642)	20	0077
55	OD/D_B6_4	magp1CB-B1	3	0.000 (0000)	0.000 (0000)	20	0077
56	OF_B6_4	magp1CB-B1	4	0.000 (0000)	0.000 (0000)	20	0077
57	OD/D_B7_4	magp1CB-B1	5	0.000 (0000)	0.000 (0000)	20	0077

12a' 11BM-VM-VH24BM-VW# 15:12		a.txt		2/2 BM-VCM-VZM-VCM-VB			
S/N	MAGNET_NAME	CONTR:ADR	CH	DAC (HEX)	ADC (HEX)	MAX(A)	STATUS
59	OD_R0_01	magp1CR-A	1	0.000 (0000)	0.000 (0000)	60	00FF
60	OF_R0_02	magp1CR-A	2	0.000 (0000)	0.015 (0001)	60	00FF
61	OD_R0_03	magp1CR-A	3	0.000 (0000)	0.029 (0002)	60	00FF
62	OF_R0_04	magp1CR-A	4	43.722 (0BA8)	43.711 (0BA8)	60	00FF
63	OD_R0_22/42	magp1CR-A	5	37.656 (0A0A)	37.661 (0A0B)	60	00FF
64	OF_R0_23/41	magp1CR-A	6	35.077 (095A)	35.054 (0959)	60	00FF
65	OD_R0_32	magp1CR-A	7	84.176 (0D77)	84.131 (0D76)	100	00FF
66	OF_R0_61	magp1CR-A	8	11.385 (0309)	11.338 (0306)	60	00FF
67	OF_R0_62	magp1CR-A	9	21.744 (05CC)	21.694 (05C9)	60	00FF
68	OD_R0_63	magp1CR-A	10	7.385 (01F8)	7.339 (01F5)	60	00FF
69	OF_R0_13/52	magp1CR-A	11	11.435 (0751)	11.426 (0750)	25	00FF
70	SF_R0_21/43	magp1CR-A	12	3.816 (0271)	3.796 (026E)	25	00FF
71	SD_R0_31/33	magp1CR-A	13	9.353 (05FC)	9.332 (05F9)	25	00FF

SC-B6-2

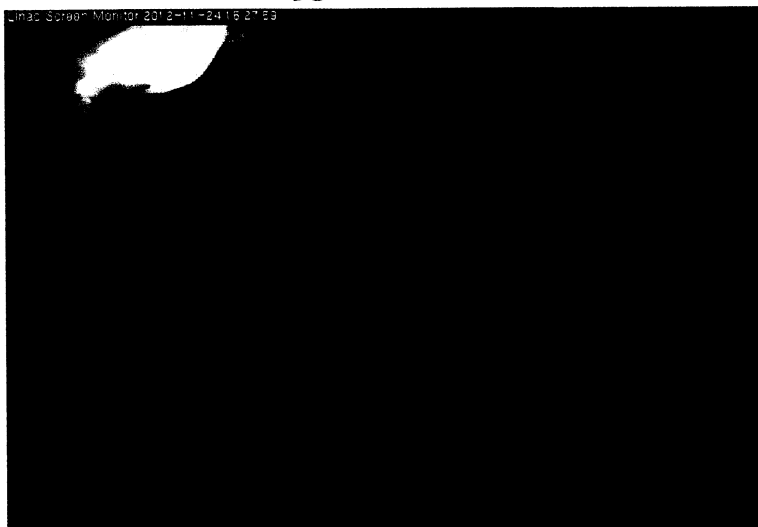


SC-B7-2



SC

SC-B8-2



SC-RD-01

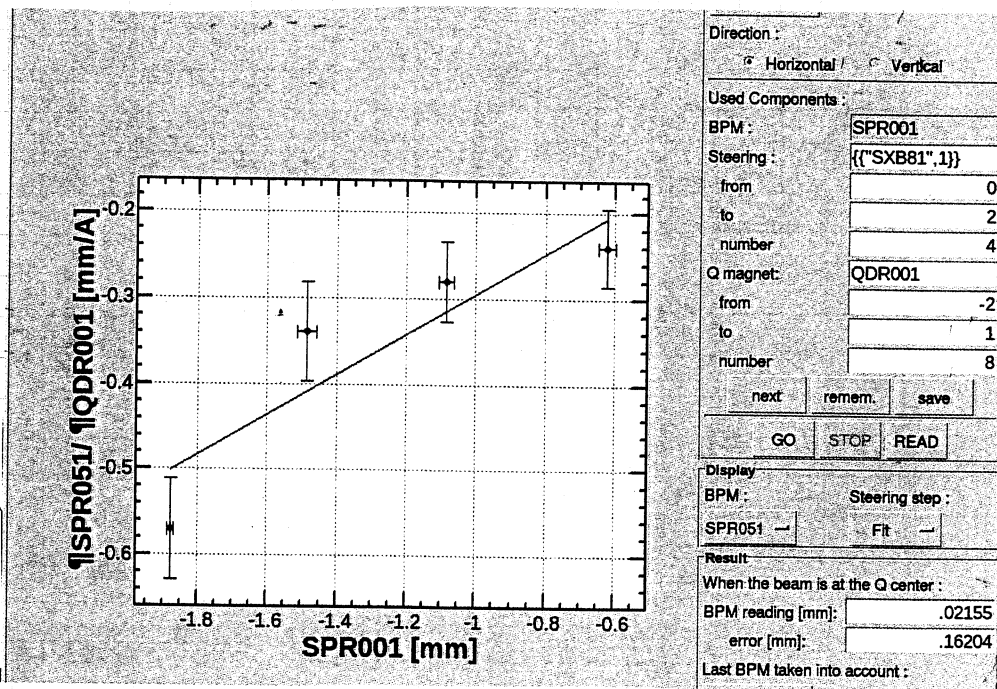


SC-RD-03



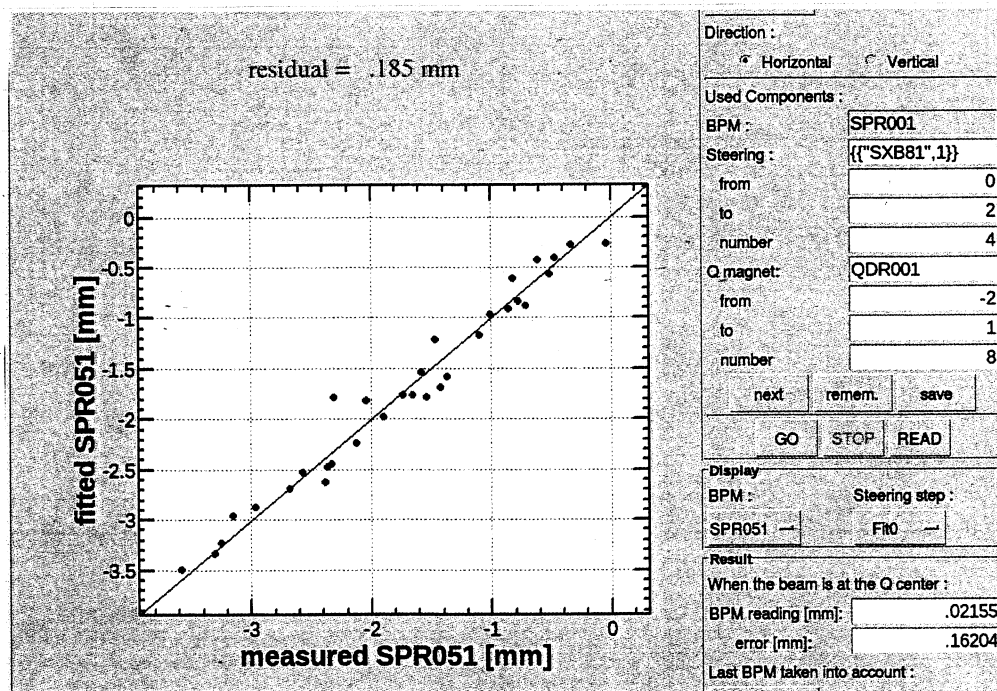
◦ SX_B8-1, B8-3 は $\pm 5.0A$ (max) に
 対応する。

◦ QD/QF-B7-4 は 11.3/11.4A \rightarrow 8.3/8.4A に
 対応する SX_B8-1 = 2.0 ~ 5.0A \leftarrow 対応する
 \downarrow 対応
 3.0 ~ 5.0A に 対応する



結論

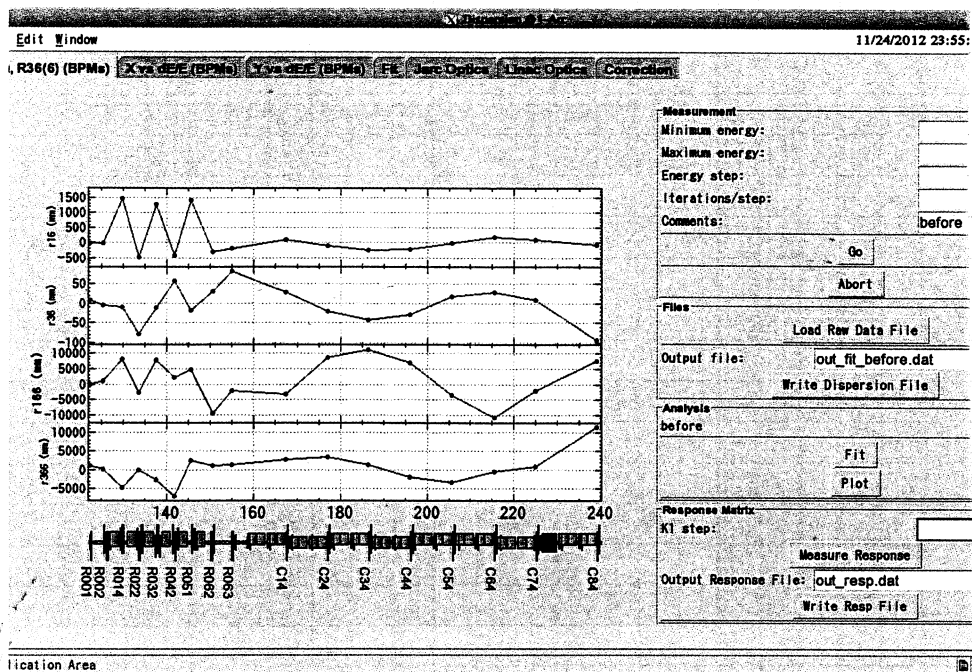
QD_R0_01の
 BPMのoffsetは
 それほど大きくない
 0.185mm



2012.11.24

2
25

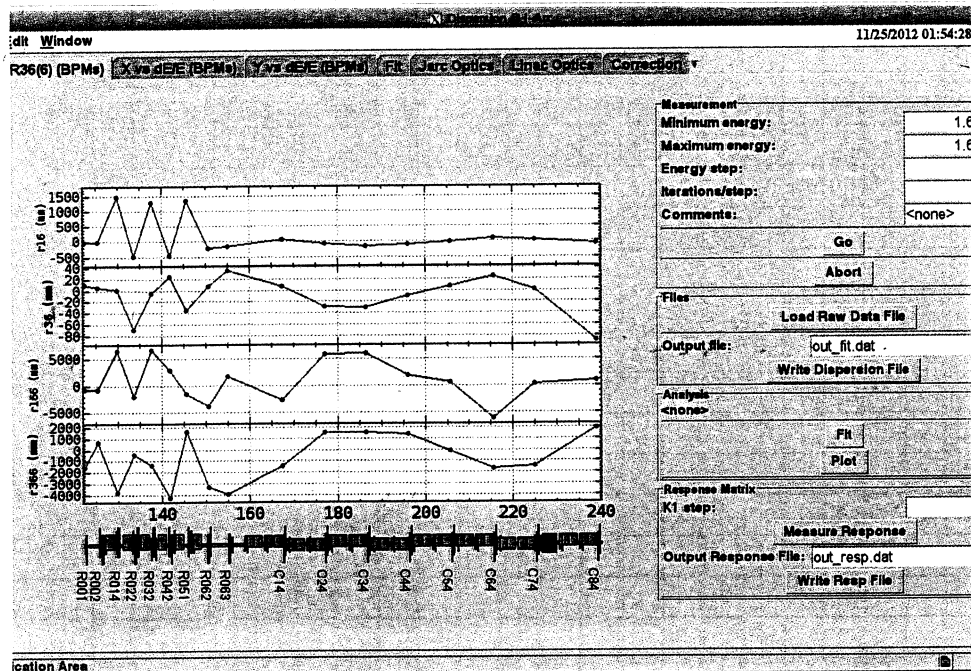
J-Arc dispersion 測定及 n^* 補正 (杉本)



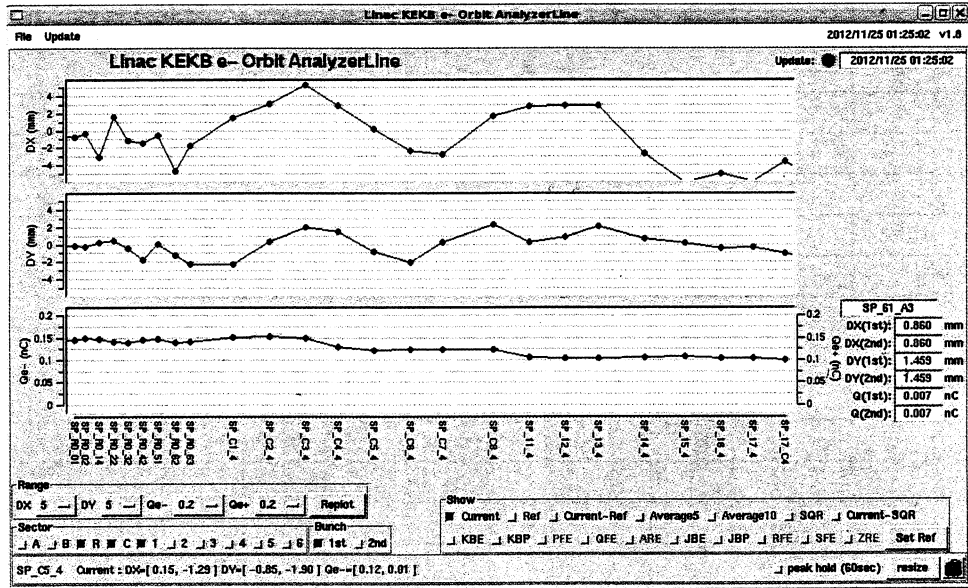
← 補正前

Model 上の Response Matrix が's'

線 SPR062 SPR063 での水平分散
 がゼロになるように SVD で補正を試みる。



↑ 補正後、若干小さくなった様に見える。

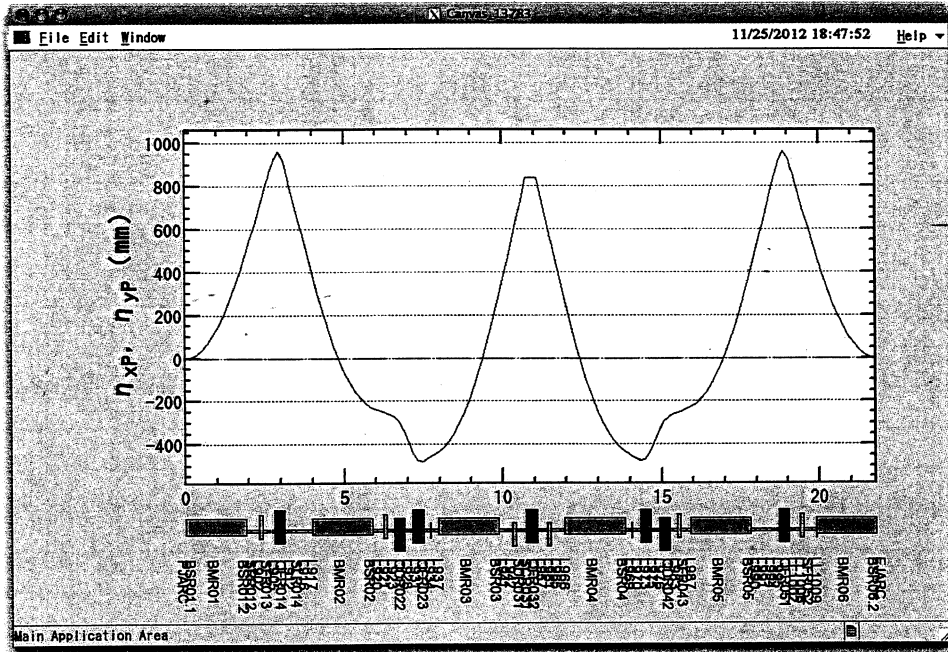


Damping Factor 等を調整してさなる補正を試みるが、
 JArc End で軌道が大きくなり、dispersionの測定の弊に口入
 が起きてしまう。おそらくQの値が変わり、ビームの受ける
 キックの強さが変わったことが原因

課題: DispersionとOrbitの両方を補正していく必要あり。

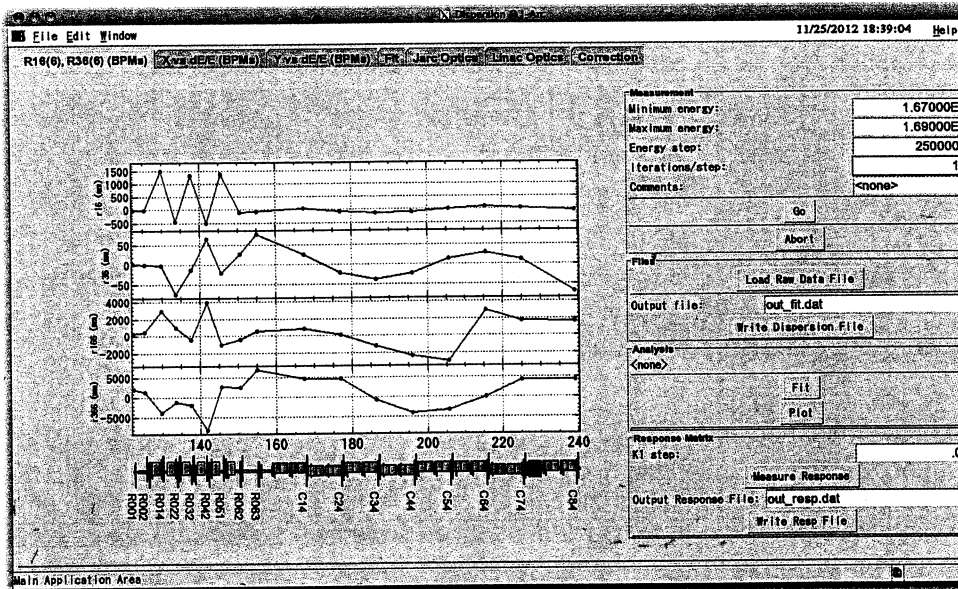
2012.11.25

J-Arc の R_{56} の変更試験



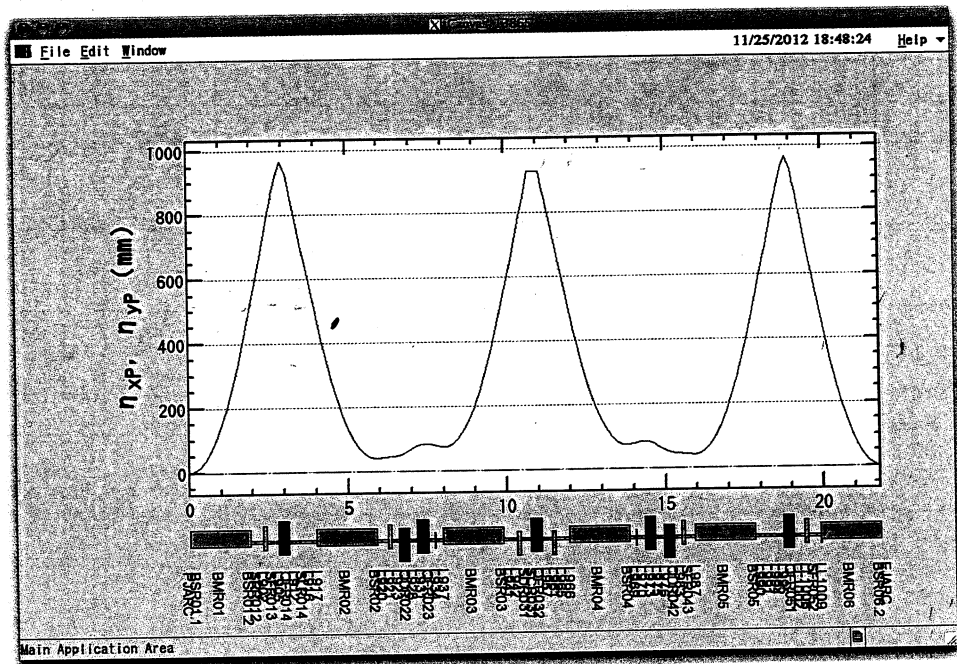
$R_{56} = 0$

SAD



$R_{56} = 0$ の時

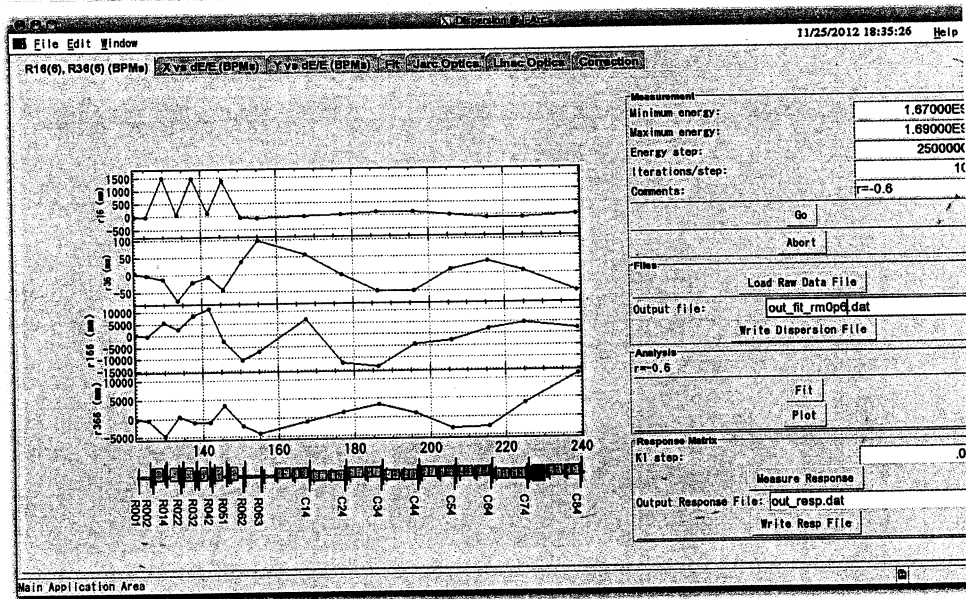
実測



$R_{56} = -0.6$

SAD

SADで求めた R_{56} の K 値を実際に設定してみる。



$R_{56} = -0.6$
の K 値”

実測